



# БИООРГАНИЧЕСКАЯ ХИМИЯ

том 17 \* № 8 \* 1991

УДК 547.857.7'421.057

© 1991 г.

*A. B. Цытович, M. B. Кочеткова, E. B. Кузнецова,  
Б. Н. Мицнер, В. И. Швец*

## АЦИКЛИЧЕСКИЕ АНАЛОГИ НУКЛЕОЗИДОВ

### I. ИССЛЕДОВАНИЕ СПОСОБА СИНТЕЗА АЛЛЕНОВЫХ ПРОИЗВОДНЫХ НУКЛЕОЗИДОВ

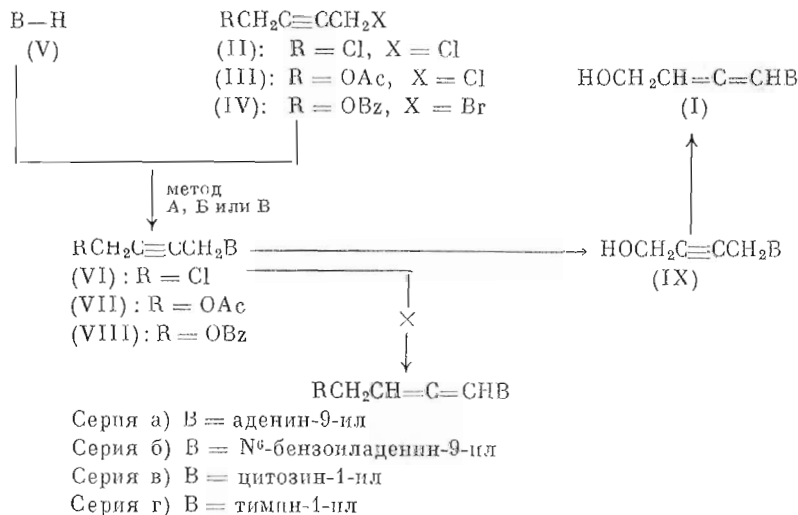
*Московский институт тонкой химической технологии им. М. В. Ломоносова*

Предложен вариант схемы синтеза аденааллена и циталлена, позволяющий получать целевые соединения с общим выходом 30—35% на исходные нуклеиновые основания. Для алкилирования последних использовали 1-бензоилокси-4-бром-2-бутил. Исследованы различные методы проведения ацетилен-алленовой перегруппировки под действием *трет*-бутилата калия и димисилнатрия.

Выявление среди ациклических аналогов нуклеозидов таких противовирусных средств, как ацикловир, ганцикловир и др. [1], обусловило расширение исследований, направленных на поиск новых соединений, которые обладали бы антиретровирусной активностью. Например, в 1988 г. И. Жемличкой с сотр. были синтезированы 9-(4-гидрокси-1,2-бутадиен-1-ил)аденин (Ia, аденааллен, см. схему 1) и 1-(4-гидрокси-1,2-бутадиен-1-ил)цитозин (Ib, циталлен), которые проявили высокую активность по отношению к вирусу иммунодефицита человека (ВИЧ) в сочетании с низкой токсичностью [2]. Ни предложенный авторами метод синтеза этих соединений [3, 4], ни его модернизация [5] не являются удовлетворительными в первую очередь из-за низкого общего выхода целевых веществ.

Использованная в работах [3—5] схема модифицирована нами с целью повышения выходов на стадии конденсации ациклических (II)—(IV) и гетероациклических (V) компонентов и перегруппировки гидроксибутиловых производных в алленовые (I) (схема 1).

Схема 1



Сокращения: DMS-Na — димисилнатрий.

Таблица 1

## Синтез ациклических аналогов нуклеозидов

Соединение	Метод синтеза	Алкилирующий агент	Изомерный состав реакционной смеси *	Выход, %	Т. пл. ***, °C	УФ-спектр	
						$\lambda_{\text{max}}$ , нм	$\epsilon$ , $M^{-1} \cdot cm^{-1}$
VIa	A	II	1 : 0	32	>250 (разл.)	259	12 700
	B		6 : 1	45			
	A		7 : 1	40			
VIIa		III			175—178	260	15 400
	B		10 : 1	53			
VIIIa	A		1 : 0	46			
	B		10 : 1	72	192—194	259	14 900
VIb	B	II	1 : 1	10	175—178	262	13 550
	A		Смесь изомеров **	15			
VIb	B	II	3 : 1	25	>250 (разл.)	272	6 820
	A		Смесь изомеров **	13			
VIIb	B	III			199—201	270	7 240
	B		10 : 1	48			
VIIIb	B	IV	1 : 0	79	189—191	272	7 650
	A		Смесь изомеров **	15			
VIr	B	II			197—199	262	11 240
	A		10 : 1	52			
VIIr	B	III	Смесь изомеров **	13			
	B		20 : 1	63	175—178	267	8 320
VIIIr	B	IV	1 : 0	72	160—163	267	8 480

\* Указаны соотношения 9- и 7-изомеров для аденина (а) и N<sup>6</sup>-бензоиладенина (б), 1- и 3-изомеров для цитозина (в) и тимина (г).

\*\* Соотношение изомеров не определяли, представлен выход смеси изомеров.

\*\*\* Вещества кристаллизовали из abs. метанола (серия а) и из смеси метанол—этилацетат, 1 : 1 (серии б—г).

Для синтеза замещенных бутиловых производных гетероциклических оснований (VI)—(VIII) мы провели сравнение эффективности применения трех различных методов конденсации — А, Б и В (табл. 1). При этом в качестве ациклического компонента использовали легкодоступный 1,4-дихлор-2-бутил (II). При проведении реакции по методу А смесь основания (V), дихлорбутина (II) и карбоната калия перемешивали в DMSO, по методу Б — вводили в реакцию натриевую соль основания (аденина) в DMF, по методу В предварительно полученное триметилсилильное производное основания нагревали в ацетонитриле в присутствии дихлорида (II). При использовании триметилсилильного производного тимина (метод В) реакция протекала с достаточной региоселективностью и выходом 1-изомера 52 %. Для триметилсилильного производного цитозина региоселективность реакции снижается одновременно с падением выхода 1-изомера до 30 %. При введении в реакцию триметилсилильного производного N<sup>6</sup>-бензоиладенина была получена трудноразделимая смесь алкиладенинов с общим выходом 20 %.

Метод А следует признать неудовлетворительным для пиридиновых оснований ввиду малой эффективности и низкой региоселективности процесса. В случае аденина эффективность метода А несколько ниже, чем метода Б, при этом наблюдается сильное осмоление реакционной массы. Лучшим из трех методов для получения производных аденина следует признать метод Б: выход продукта конденсации (VIa) составляет 45 %. Замена алкилирующего агента на 1-ацетокси-4-хлор-2-бутил (III) не дает существенного увеличения выхода и региоселективности реакций (табл. 1). Наилучшие результаты были получены нами при использовании в качестве алкилирующего агента 1-бензоилокси-4-бром-2-бутина (IV). При этом выходы целевых веществ (VII a, в, г) достигают 72—79 %.

Структуру синтезированных соединений подтверждали методами УФ- и ПМР-спектроскопии. В спектрах ПМР определяли положение характе-

Таблица 2

## Параметры ПМР-спектров бутиновых производных нуклеиновых оснований

Соединение	Химический сдвиг, $\delta$ , м.д.		КССВ, Гц $J_{1'}, 4'$	Прочие протоны, $\delta$ , м.д. ( $J$ , Гц)
	$1'$ -Н	$4'$ -Н		
VIIa *	5,15т	4,28т	1,9	H-8: 8,20с H-2: 8,15с
VIIa 3*	5,09т	4,68т	1,8	H-8: 8,20с H-2: 8,16с NH <sub>2</sub> : 7,28yc CH <sub>3</sub> CO: 2,05с
VIIIa 3*	5,10т	5,00т	1,0	H-8: 8,00с H-2: 7,95с C <sub>6</sub> H <sub>5</sub> CO: 7,80—7,55м NH <sub>2</sub> : 7,28с
IXa 2*	5,09т	4,14дт	1,9	H-8: 8,36с H-2: 8,3с NH <sub>2</sub> : 7,26с OH: 5,26т (6,0)
VIB 1*	4,65т	4,28т	2,5	H-6: 7,65д (7,9)
VIIb 3*	4,72т	4,53т	2,4	H-5: 5,85д H-6: 7,65д (8,0) NH <sub>2</sub> : 7,25с H-5: 5,65д
VIIIb 2*	5,07т	4,73т	1,9	CH <sub>3</sub> CO: 2,05с H-6: 7,95д (7,9) C <sub>6</sub> H <sub>5</sub> CO: 7,73—7,50м NH <sub>2</sub> : 7,3с
IXb 3*	4,49т	4,12дт	1,9	H-5: 5,90д H-6: 7,68д (7,9) NH <sub>2</sub> : 7,15с H-5: 5,75д
VIIr 1*	4,59т	4,29т	2,2	OH: 5,25т (5,9) H-6: 7,50к (1,1) CH <sub>3</sub> : 1,88д
VIIr 3*	4,72т	4,51т	2,1	H-6: 7,60к (1,2) CH <sub>3</sub> CO: 2,05с CH: 1,75д
VIIIr 2*	4,95т	4,58т	2,0	H-6: 8,05к (1,0) C <sub>6</sub> H <sub>5</sub> CO: 7,52—7,4 м CH <sub>3</sub> : 1,95д
IXr 3*	4,49т	4,19дт	2,0	H-6: 7,55к (1,1) OH: 5,21т (5,9) CH <sub>3</sub> : 1,78д

\* Растворитель — CD<sub>3</sub>OD.\*\* Растворитель — CDCl<sub>3</sub>.\*\*\* Растворитель — DMSO-d<sub>6</sub>.

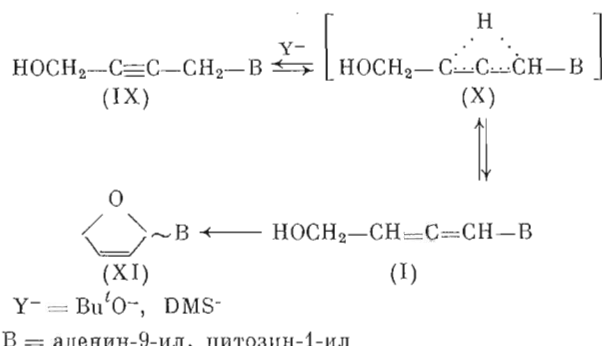
ристических сигналов протонов CH<sub>2</sub>-групп ациклической части молекулы (табл. 2), которые полностью подтверждают строение синтезированных веществ. Отнесение к 3- (для пиримидинов) или 7-изомерам (для пуринов) проводили сравнением их УФ-спектров со спектрами полученных 1- или 9-изомеров соответственно, как рекомендовано в [6]. Изомерный состав определяли после выделения индивидуальных соединений с помощью колоночной адсорбционной хроматографии. Спектральные характеристики совпадали с литературными данными для синтезированных ранее соединений (VIIa, в, г) [4, 7], (VIIIa) [5], (VIIIa) [3].

Дальнейшее превращение продуктов конденсации (VI)—(VIII) в гидроксибутиновые производные (IX) существенно легче происходит для ацильных производных (VII), (VIII). Сложноэфирная связь расщепляется в мягких условиях (метанол, насыщенный NH<sub>3</sub>, 0° С) и с количественным выходом, в то время как для замещения атома хлора в соединении (VI) на гидроксигруппу необходимо длительное нагревание в 0,1 н. HCl [4].

Таким образом, нами определена применимость методов конденсации для каждого основания (для пиримидиновых оснований — алкилирование их trimетилсilyльных производных, для аденина — введение в реакцию

его натриевой соли) и предложен высокоэффективный алкилирующий агент — 1-бензоилокси-4-бром-2-бутил.

Схема 2



Далее мы провели сравнительное изучение факторов, влияющих на процесс изомеризации ацетиленов (XI) в аллены (I). Возможный механизм реакции приведен на схеме 2. Согласно работе [8], в качестве промежуточного соединения ацетилен-алленовой перегруппировки выступает структура (X), возникающая в результате воздействия сильных оснований ( $\text{Y}^-$ ). После миграции протона эта структура трансформируется далее либо в алленовую, либо в ацетиленовую систему ненасыщенных связей. Процесс обратим, и время достижения термодинамического равновесия должно зависеть от силы используемого основания. Ранее для этих целей применяли либо 0,1 н. раствор  $\text{NaOH}$ , либо *трет*-бутилат калия ( $\text{Bu}^t\text{OK}$ ) [4]. Обработку реакционной смеси проводили через 1—1,5 ч. Кроме того, в зависимости от условий изомеризации может образовываться некоторое количество побочного продукта — 9-(1-окса-3-цикlopентен-2-ил)аденина или соответствующего производного цитозина (XI) [4]. Показано также, что 1-(4-гидрокси-2-бутил-1-ил)тимин (IXg) не подвергается изомеризации, образуются лишь продукты его перегруппировки (XI) и деградации [7].

На примере изомеризации 4'-ацилокси- и гидроксибутиновых производных аденина (VIIa, VIIIa и IXa) и цитозина (IXb) в аллены нами проведено сравнение эффективности двух различных по силе оснований — *трет*-бутилата калия и димисилнатрия. Следует отметить, что наличие ацильного заместителя затрудняет сдвиг в алленовую систему, сопряженную с гетероциклом. Например, ацетокси- и бензоилоксибутиновые производные аденина (VIIa, VIIIa) практически не изомеризуются в соответствующие аллены под действием сильных оснований. Для того чтобы оценить скорость установления равновесия, мы исследовали процесс изомеризации соединения (IXa) во времени. Кривые накопления продукта реакции для двух типов оснований ( $\text{Bu}^t\text{OK}$  и  $\text{DMS-Na}$ ) в зависимости от условий и соотношения компонентов приведены на рис. 1 и 2. Результаты эксперимента, рассчитанные по уравнению обратимой реакции первого порядка [9], суммированы в табл. 3.

Таблица 3

Результаты изомеризации гидроксибутиновых производных в алленовые при 20°C

Исходное вещество	Основание	Исходное вещество/ основание, моль/моль	K	$k_1$		Время достижения равновесия, ч
				мин <sup>-1</sup>	$k_{-1}$	
IXa	$\text{Bu}^t\text{OK}$	1 : 2 *	1,50	0,037	0,024	0,83
		1 : 1,2		0,102	0,068	0,41
		1 : 2		0,066	0,044	0,66
	DMS-Na	1 : 1,1	1,50	0,043	0,029	0,75
		1 : 1,2		0,114	0,076	0,50
		1 : 2		0,192	0,128	0,25
IXb	$\text{Bu}^t\text{OK}$	1 : 2	1,70	—	—	8,0
	DMS-Na	1 : 2		—	—	5,0

\* Измерение при — 10°C.

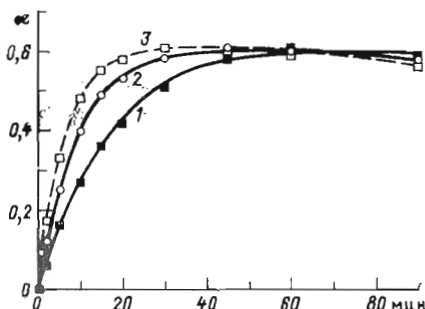


Рис. 1. Кривые накопления аденоаллена (Ia) при изомеризации гидроксибутинового производного (IXa) с помощью  $Bu^tOK$  в разных условиях (указаны соотношения (IXa) —  $Bu^tOK$ , моль/моль;  $t$ ,  $^{\circ}C$ ): 1 : 1,2; — 10 (1), 1 : 1,2; 20 (2), 1 : 2; 20 (3)

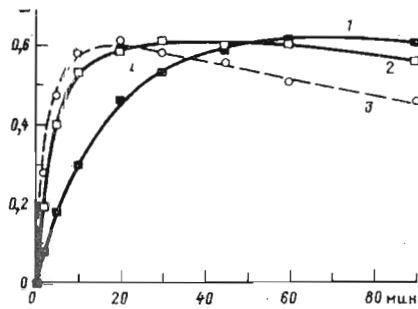


Рис. 2. Кривые накопления аденоаллена (Ia) при изомеризации гидроксибутинового производного (IXa) с помощью  $DMS-Na$  ( $20^{\circ}C$ ) при соотношении (IXa) —  $DMS-Na$  (моль/моль) 1 : 1,1 (1), 1 : 1,2 (2), 1 : 2 (3)

Анализ полученных данных показывает, что гидроксибутиновые производные (IXa, в) эффективно изомеризуются в соответствующие аллени (Ia, в) под действием  $Bu^tOK$  и  $DMS-Na$  в интервале мольных соотношений нуклеозид — основание 1 : 1,1 — 1 : 2. При этом выход целевых алленов слабо зависит от природы основания и его концентрации в реакционной смеси и составляет 55—60%; в случае цитозинсодержащего соединения (IXв) время достижения равновесного состояния существенно больше, чем для аденинового производного (IXa). Как и предполагалось, время достижения равновесия зависит как от силы основания, так и от соотношения субстрат — катализатор и составляет для гидроксибутинового производного аденина (IXa) при использовании  $Bu^tOK$  25—50 мин, а  $DMS-Na$  — 15—40 мин. При этом конечный выход аллена (Ia) остается неизменным. Важно отметить, что наблюдается некоторое падение выхода продукта реакции (Ia) при выдерживании реакционной смеси дольше времени достижения равновесия за счет образования различных побочных продуктов типа соединения (XI) и более высокомолекулярных соединений (ср. [4]).

Таким образом, нами изучен процесс изомеризации гидроксибутиновых производных нуклеиновых оснований (IXa, в) в гидроксиалленовые производные (Ia, в). Показано, что скорость достижения равновесного состояния зависит от условий реакции (силы основания, соотношения реагентов, температуры), тогда как выход продукта изомеризации практически не зависит от перечисленных выше факторов. Для препаративных целей более удобно использовать *трет*-бутилат калия.

1-(4-Гидрокси-1,2-бутадиен-1-ил)цитозин (Iв) и 9-(4-гидрокси-1,2-бутадиен-1-ил)аденин (Ia) получены приведенными выше методами с выходами соответственно 34 и 31% на исходное основание после колоночной хроматографии и последующей кристаллизации из смеси метанол — этилацетат. Их спектральные характеристики совпадают с описанными в литературе [4].

### Экспериментальная часть

Спектры ПМР получены на спектрометре Bruker MSL-200 (ФРГ); УФ-спектры — в метаноле на приборе Shimadzu UV 240 (Япония). Спектральные характеристики всех синтезированных соединений приведены в табл. 1, 2, 4. При описании спектров ПМР приняты следующие сокращения: с — синглет, д — дублет, т — триплет, к — квартет, м — мультиплет. ТСХ проводили на пластинках с силикагелем Silufol UV-254 (ЧСФР) и Kieselgel F<sub>254</sub> (Fluka, Швейцария) в системах хлороформ — метанол, 9 : 1 (A), хлороформ — метанол, 8 : 2 (B). В качестве сорбента для препаративной колоночной хроматографии использовали силикагель L 40/100 мкм (Chempol, ЧСФР). Синтез алкилирующих агентов описан ранее в работах: для 1,4-дихлорбутина — [4], 1-ацетокси-4-хлор-2-бутина — [5], 1-бензоилокси-4-бром-2-бутина — [3]. Элементный состав всех синтезированных соединений

Таблица 4

Параметры ПМР-спектров ( $\text{DMSO}-d_6$ ) алленовых производных нуклеиновых оснований

Соединение	Химический сдвиг, $\delta$ , м.д.					КССВ, Гц				Прочие протоны, $\delta$ , м.д. ( $J$ , Гц)
	4'-Н идд	3'-Н дт	1'-Н дт	$\text{NH}_2$ ус	ОН т	$J_{1', 4'}$	$J_{1', 3'}$	$J_{3', 4'}$	$J_{4', \text{ОН}}$	
Ia	4,13	6,21	7,38	7,35	5,18	3,0	6,0	5,0	6,0	H-8: 8,20с H-2: 8,17с
Ib	4,15	6,23	7,42	7,35	5,15	3,0	6,0	5,0	5,2	H-5: 5,95д (8,0) H-6: 7,65д

нений, определенный на приборе CHNO-Rapid (Nereaus, ФРГ), отличался от вычисленного не более чем на 0,2% по всем элементам.

*Обработка реакционных смесей.* После завершения процесса реакционную смесь фильтровали, фильтрат упаривали и остаток сушили 2 ч при 20° С и 0,1 мм рт. ст., растворяли в метаноле (1: 20), в полученный раствор добавляли силикагель (1 : 5 по массе), растворитель удаляли в вакууме при 20° С. Сорбированное таким образом вещество наносили на колонку (3 × 25 см), предварительно заполненную силикагелем, элюировали хлороформом, повышая полярность системы постепенным добавлением метанола до значений системы А (для соединений серий а, б, г) или системы Б (для соединений серии в). Фракции, содержащие индивидуальное вещество, объединяли, растворитель удаляли в вакууме, остаток после сушки (2 ч) при 20° С и 0,1 мм рт. ст. подвергали кристаллизации в указанных ниже растворителях.

#### Синтез нуклеозидов (IV)—(VIII)

*Метод A.* К раствору 1 ммоль основания (V) в абс. DMSO при перемешивании в токе аргона добавляли свежепрокаленный  $\text{K}_2\text{CO}_3$  (в мольном соотношении 1 : 1 с алкилирующим агентом), затем алкилирующий агент (для соединений (II), (III), (IV) соответственно — 4, 2 и 1,2 ммоль). Смесь перемешивали при 20° С 12—24 ч и обрабатывали по стандартной методике (см. выше).

*Метод B.* К суспензии 1 ммоль аденина в абс. DMF при перемешивании в токе аргона добавляли гидрид натрия (1,2 ммоль; 80% суспензия в вазелиновом масле, предварительно трижды промытая пентаном), перемешивали 30 мин, затем добавляли алкилирующий агент (для соединений (II), (III) и (IV) соответственно — 4, 2 и 1,2 ммоль), через 8 ч реакционную смесь подвергали стандартной обработке.

*Метод В.* К суспензии нуклеинового основания (V) (4 ммоль) в 15 мл тексаметилдисилазана добавляли 3 мл trimethylchlorosilane и нагревали при кипении 6—12 ч до полного растворения основания. Избыток силилирующих агентов удаляли в вакууме, остаток растворяли в 10 мл абс. ацетонитрила, смешивали с раствором алкилирующего агента, для соединений (II), (III) и (IV) соответственно — 16, 6 и 4,5 ммоль — в 5 мл того же растворителя и нагревали при кипении 1—4 ч, контролируя окончание реакции по отсутствию исходного основания (V) с помощью ТСХ. После охлаждения обрабатывали как указано выше.

*9-(4-Гидрокси-2-бутин-1-ил)аденин (IXa).* а) Нагревали при кипении 4 ммоль (850 мг) хлорпроизводного (VIa) в 0,1 н. HCl 12 ч, охлаждали и обрабатывали по стандартной методике. Остаток кристаллизовали из смеси метанол — этилацетат, 1 : 7. Выход 410 мг (50%), т. пл. 220—222° С. УФ,  $\lambda_{\text{max}}$ , нм ( $\epsilon$ ): 260 (14 000).

б) Смесь 5 ммоль соединений (VIIa) или (VIIIa) и 20 мл насыщенного раствора аммиака в метаноле выдерживали 24 ч при 20° С и после стандартной обработки получали соответственно 610 мг (75%) и 625 мг (78%). Температура плавления и УФ-спектр совпадали с данными для соединения, полученного по методу «а».

*1-(4-Гидрокси-2-бутил-1-ил)цитозин* (*IX*) получен аналогично соединению (*IXa*) по способам «а» и «б». а) Получено 290 мг (40%) из 800 мг хлорпроизводного (*VIIb*). Кристаллизовали из смеси метанол — этилацетат, 1 : 1, т. пл. 193—195° С, УФ,  $\lambda_{\max}$ , нм ( $\epsilon$ ): 272 (9600).

б) Получено 575 мг (80%) из 890 мг ацетильного производного (*VIIb*) или 570 мг (78%) из 1,14 г бензоильного производного (*VIIb*). Температура плавления и УФ-спектр совпадали с данными для соединения, полученного по методу «а».

*1-(4-Гидрокси-2-бутил-1-ил)тимин* (*IXc*) синтезировали аналогично (*IXa*) по способам «а» и «б». а) Получено 530 мг (63%) из 850 мг хлорпроизводного (*VIIc*). Кристаллизовали из смеси метанол — этилацетат, 9 : 1, т. пл. 172—174° С, УФ,  $\lambda_{\max}$ , нм ( $\epsilon$ ): 259 (5900).

б) Получено 710 мг (83%) из 940 мг ацетильного производного (*VIIc*) или 725 мг (85%) из 1,2 г бензоильного производного (*VIIc*). Температура плавления и УФ-спектр совпадали с данными для соединения, полученного по методу «а».

*Аденаллен* (*Ia*). а) К раствору 2 ммоль гидроксибутилового производного (*IXa*) в 15 мл абс. DMF при перемешивании при 20° С добавляли 336 мг (4 ммоль) свежевозогнанного  $Bu^4OK$ , выдерживали 40 мин при той же температуре. Реакционную смесь нейтрализовали дауэксом 50W ( $H^+$ -форма) и обрабатывали по стандартной методике. Вещество кристаллизовали 3 раза из смеси этилацетат — метанол, 1 : 1. Получено 183 мг (55%), т. пл. 190—191° С, УФ,  $\lambda_{\max}$ , нм ( $\epsilon$ ): 260 (14 000).

б) Промывали 32 мг гидрида натрия (80%-ная суспензия в вазелиновом масле) 3 раза по 3 мл абс. пентана, добавляли 10 мл абс. DMSO и нагревали в атмосфере аргона 1 ч при 60—70° С, раствор охлаждали до 20° С. К раствору 2,5 ммоль вещества в 10 мл абс. DMSO добавляли 3,7 мл полученного раствора DMS-Na в DMSO и выдерживали при 20° С 10 мин, затем обрабатывали как указано выше. Выход 52%. Температура плавления и УФ-спектр совпадали с данными для соединения, полученного по методу «а».

*Циталлен* (*Ib*) получен аналогично соединению (*Ia*) по методам «а» и «б». а) Получено 184 мг (60%) исходя из 290 мг (*IXb*), кристаллизовали из метанола, т. пл. 184—188° С, УФ,  $\lambda_{\max}$ , нм ( $\epsilon$ ): 290 (11 300).

б) Получено 193 мг (65%) исходя из 290 мг (*IXb*), температура плавления и УФ-спектр совпадали с данными для соединения, полученного по методу «а».

*Изучение кинетики процесса изомеризации.* К раствору 0,05 ммоль вещества (*IXa*) добавляли 0,06—0,1 ммоль основания (общий объем раствора 2 мл), термостатировали при соответствующей температуре. Однаковые пробы по 30 мкл отбирали через соответствующие промежутки времени, наносили на пластинки с силикагелем  $F_{254}$  и хроматографировали в системе А, вещества элюировали 5 мл абс. метанола и измеряли оптическую плотность растворов при 260 нм. Соотношение компонентов ( $\alpha$ ) определяли с учетом значений коэффициентов молярного поглощения ( $\epsilon$ ) (см. табл. 1) по формуле

$$\alpha = \frac{A_{(I)}}{A_{(I)} + \frac{\epsilon_{(I)}}{\epsilon_{(IX)}} \cdot A_{(IX)}}.$$

#### СПИСОК ЛИТЕРАТУРЫ

1. Harnden M. R., Bailey S., Boyd M. R. // Top. Med. Chem. Proc. 4th SCI—RSC Med. Chem. Symp. Cambridge, 6th — 9th. Sept. 1988. London, 1988. P. 213—244.
2. Hayashi S., Phadtare S., Zemlicka J., Matsukura M., Mitsuya H., Broder S. // Proc. Nat. Acad. Sci. USA. 1988. V. 85. № 16. P. 6127—6131.
3. Borcherding D. R., Narayanan S., Hasobe M., McKee J. G., Keller B. T., Borchart R. T. // J. Med. Chem. 1988. V. 31. № 15. P. 1729—1738.
4. Phadtare S., Zemlicka J. // J. Amer. Chem. Soc. 1989. V. 111. № 15. P. 5925—5931.
5. Хорлин А. А., Смирнов И. П., Кочеткова С. К., Цилевич Т. Л., Щавелева И. Л., Гомтих Б. П., Флорентьев В. Л. // Биоорган. химия. 1989. Т. 15. № 4. С. 530—532.

6. Albert B. H. // Synthetic Procedures in Nucleic Acid Chemistry / Eds Zorbach W. W., Tipson E. D. New York, London: Interscience, 1973. P. 47—125.
7. Phadtare S., Zemlicka J. // J. Org. Chem. 1989. V. 54. № 15. P. 3675—3679.
8. Табер А. М., Мушина Е. А., Кренцель Б. А. Алленовые углеводороды: получение, свойства, применение. М.: Наука, 1987. С. 30—31.
9. Эммануэль Н. М., Кнорре Д. Г. Курс химической кинетики. М.: Выш. школа, 1974. С. 142—143.

Поступила в редакцию  
20.XI.1990

A. V. TSYTOVICH, M. V. KOCHETKOVA, E. V. KUZNETSOVA, B. I. MITSNER,  
V. I. SHVETS

**ACYCLIC NUCLEOSIDE ANALOGS. I. DEVELOPMENT OF ALLENIC  
NUCLEOSIDE DERIVATIVE'S SYNTHESIS**

*M. V. Lomonosov Institute of Fine Chemical Technology, Moscow*

A modified scheme for the adenallene and cytallene synthesis with the total yield of 30—35% is suggested. 1-Benzoyloxy-4-bromo-2-butyne is used as an alkylating agent. Methods of the acetylene-allene transition of hydroxybutynic derivatives of nucleic acid bases in the presence of potassium *tert*-butylate or sodium dimsylate are investigated.